

論文

前処理を用いたステレオエコーキャンセラの収束解析

平野 晃宏[†] 中山 謙二[†] 渡辺 和伸^{††}

Convergence Analysis of A Stereophonic Acoustic Echo Canceller with Pre-Processing

Akihiro HIRANO[†], Kenji NAKAYAMA[†], and Kazunobu WATANABE^{††}

あらまし 前処理を用いたステレオエコーキャンセラの収束特性を解析する。フィルタ係数誤差期待値の収束特性を解析し、前処理フィルタの特性と収束特性の関係を示す。また、周波数領域において解の一意性を解析する。これらの解析により、前処理フィルタが備えるべき特性を明らかにし、前処理として2次全域通過フィルタを用いることにより収束特性を改善できることを示す。

キーワード ステレオエコーキャンセラ、係数の不確定性、前処理を用いたステレオエコーキャンセラ

1. まえがき

TV会議やハンズフリー電話においては、音声のスピーカからマイクロホンへの回り込みによって音響エコーが発生し、快適な会話の妨げとなっている。このようなエコーを除去するために、音響エコーキャンセラが広く用いられている。近年では、TV会議の高品質化が求められており、臨場感を高めるために音声を多チャンネル化することが検討されている。多チャンネル音声を用いたハンズフリー通話においては、音響エコーキャンセラを多チャンネル化する必要がある。そのために、ステレオや多チャンネルのエコーキャンセラがさかんに研究されている[1] - [15]。

ステレオ音声信号においては、両チャンネルの信号間に相互相関がある場合が多い。ステレオTV会議において一人の話者だけが発言している場合には、両チャンネルの信号は同じ音声成分のみとなり、相互相関は非常に強くなる。このような相互相関がステレオエコーキャンセラの収束特性に大きな影響を与えることが知られている。特に話者が一人である場合には、エコーを消去できるフィルタ係数の解は一意に定ま

らないという、解の不確定性問題が起こるとされている[3], [7], [8], [9]。

解の不確定性問題を解決するために、前処理を用いて相互相関に揺らぎを与える方法[10], [11]、非線形処理により無相関成分を導入する方法[12], [13], [14]など、種々のステレオエコーキャンセラが提案されている。前処理を用いる方法は、非線形処理を用いる方法よりも収束速度が速く[10]、有力な候補となっている。しかし、前処理フィルタの特性と収束特性の関係は解明されていない。

本稿では、前処理を用いたステレオエコーキャンセラの収束特性を解析する。フィルタ係数誤差期待値の収束特性を解析し、前処理フィルタの特性と収束特性の関係を示す。また、周波数領域において解の一意性を解析する。これらの解析により、前処理フィルタが備えるべき特性を明らかにする。さらに、前処理として2次全域通過フィルタ(APF)を用いることにより収束特性を改善できることを示す。

2. 前処理を用いたステレオエコーキャンセラ

図1に、前処理を用いたステレオエコーキャンセラを使用したステレオ音声会議を示す。部屋Aで1人の話者が発言しており、部屋Bで発生した音響エコーを部屋Bに設置されたエコーキャンセラで除去しようとしている。前処理を用いたステレオエコーキャンセラとしては、2タップ時変FIRフィルタを用いたもの[10]、

[†] 金沢大学工学部、石川県

Faculty of Engineering, Kanazawa University, Kanazawa,
920-8667 Japan

^{††} 松下通信工業、神奈川県

Personal Communications Division, Matsushita Communication Industrial Co., Ltd., Yokohama, 223-8639 Japan

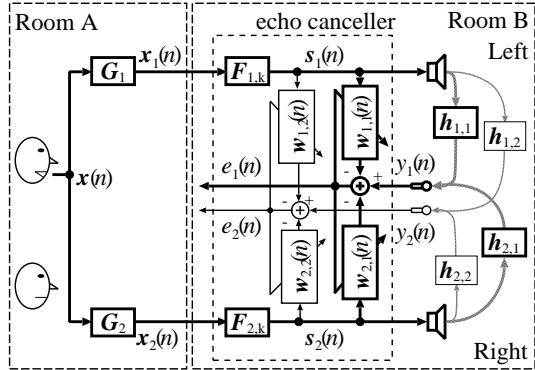


図1 ステレオ音声会議
Fig. 1 Teleconference with stereophonic audio.

1次時変APFを用いたもの[11]などが提案されている。本稿では、これらを一般化したモデルを用いる。

部屋Aにおける話者から第 j チャンネルのマイクロホンに至る経路のインパルス応答ベクトルを \mathbf{g}_j とするとき、第 j チャンネル($j = 1, 2$)の参照入力信号 $x_j(n)$ は、

$$x_j(n) = \mathbf{g}_j^T \mathbf{x}(n) \quad (1)$$

$$\mathbf{g}_j = [g_{j,0} \ g_{j,1} \ \cdots \ g_{j,N_g-1}]^T \quad (2)$$

$$\mathbf{x}(n) = [x(n) \ \cdots \ x(n - N_g + 1)]^T \quad (3)$$

となる。 N_g は部屋Aのインパルス応答長である。

時変前処理フィルタを、複数組の係数ベクトルを切り替えて使用するFIRフィルタでモデル化する。第 j チャンネルの前処理フィルタの第 k 組目の係数ベクトルを $\mathbf{f}_{j,k}$ とすると、第 j チャンネルの前処理された信号 $s_j(n)$ は、

$$s_j(n) = \mathbf{f}_{j,k}^T \mathbf{x}_j(n) \quad (4)$$

となる。ここで、 $\mathbf{f}_{j,k}$, $\mathbf{x}_j(n)$ は、

$$\mathbf{f}_{j,k} = [f_{j,k,0} \ f_{j,k,1} \ \cdots \ f_{j,k,N_f-1}]^T \quad (5)$$

$$\mathbf{x}_j(n) = [x_j(n) \ \cdots \ x_j(n - N_f + 1)]^T \quad (6)$$

で定義され、 N_f は前処理フィルタのインパルス応答長である。

前処理フィルタ $\mathbf{f}_{j,k}$ の個数や特性、 k と n の関係は方式によって異なる。2タップ時変FIRフィルタを用いる方式[10]は、近似的には、2種類のフィルタ $\mathbf{f}_{j,1}$ と $\mathbf{f}_{j,2}$ を交互に使用するとみなすことができる。切り替え周期を $2L$ とすると、 k と n の関係は

$$k = \begin{cases} 1 & (n \bmod 2L < L) \\ 2 & (n \bmod 2L \geq L) \end{cases} \quad (7)$$

で与えられる。ここで $x \bmod y$ は x を y で割った剰余である。2個以上のフィルタを周期的に切り替える場合にも容易に拡張できる。1次時変APFを用いる方式[11]では、1サンプル毎に乱数で前処理フィルタの係数を更新するので、 $k = n$ となる。前処理フィルタの個数は無限個とみなせる。

第 j 番目のスピーカから第 i 番目のマイクロホンに至るエコーパスのインパルス応答ベクトルおよび適応フィルタの係数ベクトルを各々 $\mathbf{h}_{j,i}$ および $\mathbf{w}_{j,i}(n)$ とすると、第 i チャンネルのエコー $y_i(n)$ および疑似エコー $\hat{y}_i(n)$ は、

$$y_i(n) = \sum_{j=1}^2 \mathbf{h}_{j,i}^T \mathbf{s}_j(n) \quad (8)$$

$$\hat{y}_i(n) = \sum_{j=1}^2 \mathbf{w}_{j,i}^T(n) \mathbf{s}_j(n) \quad (9)$$

で与えられる。ここで、 $\mathbf{h}_{j,i}$, $\mathbf{w}_{j,i}(n)$, $\mathbf{s}_j(n)$ は、

$$\mathbf{h}_{j,i} = [h_{j,i,0} \ h_{j,i,1} \ \cdots \ h_{j,i,N_h-1}]^T \quad (10)$$

$$\mathbf{w}_{j,i}(n) = [w_{j,i,0}(n) \ w_{j,i,1}(n) \ \cdots \ w_{j,i,N_h-1}(n)]^T \quad (11)$$

$$\mathbf{s}_j(n) = [s_j(n) \ \cdots \ s_j(n - N_h + 1)]^T \quad (12)$$

で定義される。 N_h は部屋Bのインパルス応答長である。 $\mathbf{s}_j(n)$ を $\mathbf{f}_{j,k}$, \mathbf{g}_j , $\mathbf{x}(n)$ を用いて整理すると、

$$\mathbf{s}_j(n) = \mathbf{F}_{j,k} \mathbf{G}_j \mathbf{x}'(n) \quad (13)$$

となる。ここで、 $\mathbf{x}'(n)$ は

$$\mathbf{x}'(n) = [x(n) \ x(n-1) \ \cdots \ x(n - N_h - N_f - N_g + 2)]^T \quad (14)$$

で、 $\mathbf{F}_{j,k}$, \mathbf{G}_j は次ページの(15), (16)式で定義される。

誤差信号 $e_i(n)$ は、

$$e_i(n) = \sum_{j=1}^2 (\mathbf{h}_{j,i} - \mathbf{w}_{j,i}(n))^T \mathbf{s}_j(n) \quad (17)$$

で求められる。(13)を用いることにより、 $e_i(n)$ は、

$$\mathbf{F}_{j,k} = \underbrace{\begin{bmatrix} f_{j,k,0} & f_{j,k,1} & \cdots & f_{j,k,N_f-1} & 0 & \cdots & \cdots & 0 \\ 0 & f_{j,k,0} & f_{j,k,1} & \cdots & f_{j,k,N_f-1} & \ddots & \vdots & \vdots \\ \vdots & 0 & \ddots & \ddots & \ddots & \ddots & \ddots & \vdots \\ \vdots & \vdots & \ddots & \ddots & \ddots & \ddots & \ddots & \vdots \\ 0 & \cdots & \cdots & 0 & f_{j,k,0} & f_{j,k,1} & \cdots & f_{j,k,N_f-1} \end{bmatrix}}_{N_h+N_f-1} \Bigg\} N_h \quad (15)$$

$$\mathbf{G}_j = \underbrace{\begin{bmatrix} g_{j,0} & g_{j,1} & \cdots & g_{j,N_g-1} & 0 & \cdots & \cdots & 0 \\ 0 & g_{j,0} & g_{j,1} & \cdots & g_{j,N_g-1} & \ddots & \vdots & \vdots \\ \vdots & 0 & \ddots & \ddots & \ddots & \ddots & \ddots & \vdots \\ \vdots & \vdots & \ddots & \ddots & \ddots & \ddots & \ddots & \vdots \\ 0 & \cdots & \cdots & 0 & g_{j,0} & g_{j,1} & \cdots & g_{j,N_g-1} \end{bmatrix}}_{N_h+N_f+N_g-2} \Bigg\} N_h + N_f - 1 \quad (16)$$

$$e_i(n) = \sum_{j=1}^2 (\mathbf{h}_{j,i} - \mathbf{w}_{j,i}(n))^T \mathbf{F}_{j,k} \mathbf{G}_j \mathbf{x}'(n) \quad (18)$$

となる。LMS アルゴリズムを仮定すると、フィルタ係数 $\mathbf{w}_{j,i}(n)$ は、

$$\mathbf{w}_{j,i}(n+1) = \mathbf{w}_{j,i}(n) + \mu e_i(n) \mathbf{s}_j(n) \quad (19)$$

で更新される。 μ はステップサイズと呼ばれる正の定数である。

3. 係数期待値の収束特性

フィルタ係数誤差の期待値

$$\mathbf{m}_{j,i}(n) = E[\mathbf{h}_{j,i} - \mathbf{w}_{j,i}(n)] \quad (20)$$

を解析する。(19)に(13)および(18)を代入して期待値を取ることにより、

$$\begin{aligned} \mathbf{m}_{j,i}(n+1) &= \mathbf{m}_{j,i}(n) \\ &- \mu \sum_{l=1}^2 \mathbf{F}_{j,k} \mathbf{G}_j \mathbf{R} \mathbf{G}_l^T \mathbf{F}_{l,k}^T \mathbf{m}_{l,i}(n) \end{aligned} \quad (21)$$

を得る。 \mathbf{R} は話者の音声 $\mathbf{x}(n)$ の相関行列であり、

$$\mathbf{R} = E[\mathbf{x}'(n) \mathbf{x}'^T(n)] \quad (22)$$

で定義される。

第 i チャンネルの各適応フィルタのフィルタ係数誤差の期待値 $\mathbf{m}_{j,i}$ をまとめると、(21)は、

$$\mathbf{M}_i(n+1) = (\mathbf{I} - \mu \mathbf{F}_k \mathbf{R} \mathbf{G}^T \mathbf{F}_k^T) \mathbf{M}_i(n) \quad (23)$$

と書き換える。ここで、 \mathbf{I} は単位行列、 $\mathbf{M}_i(n)$ 、 \mathbf{F}_k および \mathbf{G} は、

$$\mathbf{M}_i(n) = \begin{bmatrix} \mathbf{m}_{1,i}(n) \\ \mathbf{m}_{2,i}(n) \end{bmatrix} \quad (24)$$

$$\mathbf{F}_k = \begin{bmatrix} \mathbf{F}_{1,k} & 0 \\ 0 & \mathbf{F}_{2,k} \end{bmatrix} \quad (25)$$

$$\mathbf{G} = \begin{bmatrix} \mathbf{G}_1 \\ \mathbf{G}_2 \end{bmatrix} \quad (26)$$

である。

簡単のために、2 個の前処理フィルタ \mathbf{F}_1 と \mathbf{F}_2 を各々 L サンプル毎に切り替えて使用する場合を考える。しかし、より一般的な場合、すなわち、複数個の前処理フィルタ \mathbf{F}_k を L_k サンプルの間使用する場合にも、この議論はそのまま拡張できる。前処理フィルタ \mathbf{F}_1 を L サンプル使用した後に \mathbf{F}_2 を L サンプル使用する処理

を m 回繰り返した後における係数誤差の期待値 $M_i(n)$ は、

$$\begin{aligned} M_i(2(m+1)L) &= \left(I - \mu F_2 G R G^T F_2^T \right)^L \\ &\quad \left(I - \mu F_1 G R G^T F_1^T \right)^L M_i(2mL) \end{aligned} \quad (27)$$

となる。2個の前処理フィルタ F_1 と F_2 の差分

$$\Delta F = F_2 - F_1 \quad (28)$$

を用いると、 $M_i(2(m+1)L)$ は、

$$\begin{aligned} M_i(2(m+1)L) &= \\ &\quad \left(I - \mu (F_1 + \Delta F) G R G^T (F_1 + \Delta F)^T \right)^L \\ &\quad \left(I - \mu F_1 G R G^T F_1^T \right)^L M_i(2mL) \\ &= \left\{ \left(I - \mu F_1 G R G^T F_1^T \right) \right. \\ &\quad \left. - \mu \left(\Delta F G R G^T F_1^T + F_1 G R G^T \Delta F^T \right. \right. \\ &\quad \left. \left. + \Delta F G R G^T \Delta F^T \right) \right\}^L \\ &\quad \left(I - \mu F_1 G R G^T F_1^T \right)^L M_i(2mL) \end{aligned} \quad (29)$$

となる。簡単のために

$$\begin{aligned} D &= -\mu \left(\Delta F G R G^T F_1^T + F_1 G R G^T \Delta F^T \right. \\ &\quad \left. + \Delta F G R G^T \Delta F^T \right) \end{aligned} \quad (30)$$

を用いて(29)を書き換えると、

$$M_i(2(m+1)L) = P M_i(2mL) \quad (31)$$

$$P = \sum_{i=0}^L C(i, L) \left(I - \mu F_1 G R G^T F_1^T \right)^{L+i} D^{L-i} \quad (32)$$

を得る。ここで、 $C(i, L)$ は L 個から*i*個を選ぶ組み合わせの数である。

ここで、 $D = 0$ である場合、すなわち、前処理フィルタが固定フィルタである場合には、(31)式は

$$M_i(2(m+1)L) = \left(I - \mu F_1 G R G^T F_1^T \right)^{2L} M_i(2mL) \quad (33)$$

となる。これは線形結合型ステレオエコーキャンセラの収束特性[9]と同じである。線形結合型ステレオエコーキャンセラにおいては、解の不確定性[7]のために、 $\left(I - \mu F_1 G R G^T F_1^T \right)^n$ は0には収束しない。簡単な例については、 $F_1 G R G^T F_1^T$ の最小固有値が0であるために、0固有値に対応する成分は最適値に収束しないことが知られている[9]。言い換えると、 $I - \mu F_1 G R G^T F_1^T$

の最大固有値が1であるため、これを n 乗しても0には収束しない。

これより、フィルタ係数がエコーパスのインパルス応答に収束するための必要条件 $D \neq 0$ が導出される。前処理の効果は、Dの項を付加することにより、Pの最大固有値を小さくすることである。Dが大きいほど固有値の変化も大きくなり、収束速度も速くなると考えられる。Dにおいて、 $\Delta F G$ は部屋Aのインパルス応答Gと前処理フィルタの変化分 $F_1 - F_2$ を組み合させた特性、すなわち、入力信号をGで処理した後、 $F_1 - F_2$ なるフィルタで処理することに相当する。したがって、Gと $F_1 - F_2$ の関係が収束特性に大きく影響することがわかる。同様に、Gと F_1 の関係も重要なとなる。

4. 周波数領域の解析

部屋Aと前処理フィルタの伝達関数が収束特性に与える影響を、周波数領域でも解析する。エコーを消去できる適応フィルタの解が一意に定まる条件を導出し、前処理フィルタが備えるべき条件を示す。

第*j*チャンネルの前処理フィルタとして第*k*番目の特性 $F_{j,k}$ を使っている場合には、第*i*チャンネルの誤差信号 $E_{i,k}(z)$ は、

$$\begin{aligned} E_{i,k}(z) &= \sum_{j=1}^2 (H_{j,i}(z) - W_{j,i}(z)) \\ &\quad F_{j,k}(z) G_j(z) X(z) \end{aligned} \quad (34)$$

となる。ここで、 $X(z)$ は話者の音声、 $G_j(z)$ は部屋Aにおける話者から第*j*番目のマイクロホンに至る伝達関数、 $H_{j,i}(z)$ は第*j*スピーカから第*i*マイクロホンに至るエコーパス、 $W_{j,i}(z)$ は適応フィルタの伝達関数である。前処理を用いたステレオエコーキャンセラは平均二乗誤差を最小にするようにフィルタ係数を更新する。これは、複数の*k*に対して誤差信号を0にすること、すなわち、複数の*k*に対して任意の z で

$$E_{i,k}(z) = 0 \quad (35)$$

を満足するような連立方程式を解くことに相当する。(34)より、解 $W_{j,i}(z) = H_{j,i}(z)$ が連立方程式(35)の解となることは自明である。これがエコーを完全に消去できる適応フィルタの伝達関数 $W_{j,i}(z)$ の最適解となる。しかし、(35)はこのような最適解を一意に有するとは限らない。解が一意に定まる必要十分条件は、

線形独立な方程式が2個以上存在することである。証明は付録に示す。

ここで、簡単のために、前処理フィルタは2種類を切り替えて使う場合を考える。(35)を $W_{j,i}(z)$ について解くことにより、解が一意に定まる条件は

$$(F_{1,1}(z)F_{2,2}(z) - F_{1,2}(z)F_{2,1}(z)) \\ G_i(z)X(z) \neq 0 \quad (i = 1, 2) \quad (36)$$

となる。ここで、

$$F_{j,2}(z) = F_{j,1}(z)\Delta F_j(z) \quad (37)$$

なる $\Delta F_j(z)$ を導入すると、 $X(z)$ に依存せずに最適解が得られる条件は、

$$F_{1,1}(z)F_{2,1}(z)(\Delta F_2(z) - \Delta F_1(z))G_i(z) \\ \neq 0 \quad (38)$$

となる。

これより、最適解を得るためにには、 $F_{1,1}(z)$ 、 $F_{2,1}(z)$ 、 $\Delta F_2(z) - \Delta F_1(z)$ 全ての通過域が $G_j(z)$ の通過域を含まなければならないことがわかる。また、(38)式左辺の値が小さいと、連立方程式の線形独立性が低く、収束速度が低下することが考えられる。

$F_{1,1}(z)$ および $F_{2,1}(z)$ に関する条件は、適応フィルタは入力信号が無い周波数帯域の特性を学習できないことから必要となる。また、聴感上も重要である。 $\Delta F_2(z) = \Delta F_1(z)$ であることは(34)の右辺全体を $\Delta F_1(z)$ 倍することになり、独立な方程式を得られないで、 $\Delta F_2(z) - \Delta F_1(z)$ の通過域が $G_j(z)$ の通過域を含むことが連立方程式の独立性を保証していることがわかる。

この条件を満たすには、 $G_j(z)$ の通過域全般において、前処理フィルタ $F_{j,k}(z)$ ($j = 1, 2$)の少なくとも一方は k を変化させた際に周波数特性が変化すること、この変化はチャンネルによって異なることが必要となる。振幅特性だけを変化させても最適解が得られるが、聴感上好ましくない。群遅延特性を変化させるか、群遅延変化と振幅変化を併用する。一般には $G_j(z)$ は未知なので、全帯域で $F_{j,k}(z)$ に変化を持たせることが望ましい。 $|G_j(z)|$ が大きい場合が多い帯域で大きな変化を与えることは、収束特性上は有効である。

最も簡単な例として、第2チャンネルのみに周期的に前処理フィルタ $F(z)$ を挿入する場合、すなわち

$$F_{1,1}(z) = F_{1,2} = F_{2,1}(z) = 1 \quad (39)$$

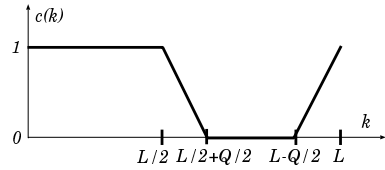


図2 周期関数 $c(k)$
Fig. 2 Periodic function $c(k)$.

である場合を考える。

$$E_{i,1}(z) = E_{i,2}(z) = 0 \quad (40)$$

を解くことにより、

$$(F(z) - 1)G_1(z)X(z) \neq 0 \quad (41)$$

を得る。したがって、 $F(z) - 1$ の通過域が $G_1(z)$ の通過域を含む必要がある。

この結果を複数種類の前処理フィルタを使用する場合に適用することは容易である。複数種類の前処理フィルタのうち、いずれか2種類について上記の条件が成り立てばよい。

本節では周波数領域における解の一意性を解析したが、この結果は時間域におけるフィルタ係数誤差期待値の収束解析結果と一致する。いずれの解析結果も、前処理フィルタの通過域が部屋Aの通過域を含み、かつ、部屋Aの通過域において前処理フィルタの特性を変化させる必要があることを示している。変化分が大きいほど収束速度が速くなる。

5. 計算機シミュレーション

5.1 前処理フィルタ

3種類の前処理フィルタを用いた計算機シミュレーションによって、解析結果を検証する。簡単のために、第2チャンネルのみに前処理フィルタ $F(z)$ を挿入している。

前処理フィルタ(1)は、1次時変APFを用いた方式[11]を簡略化したものである。[11]の方式では係数をランダムに変化させた1次APFを両チャンネルに挿入しているが、本稿では片チャンネルに1次APF

$$F(z) = \frac{a(k) + z^{-1}}{1 + a(k)z^{-1}} \quad (42)$$

を挿入する。ここで、 $a(k)$ は、図2に示す周期関数 $c(k)$ を用いて、

$$a(k) = a \times c(k) \quad (43)$$

で定義される。 a は定数, L は周期, Q は過渡域長である。この方式は第2チャンネルのみに2種類のフィルタ

$$F_{2,1}(z) = \frac{a(k) + z^{-1}}{1 + a(k)z^{-1}} \quad (44)$$

および

$$F_{2,2}(z) = z^{-1} \quad (45)$$

を交互に挿入することに近いが、フィルタ係数の変化を滑らかにしてクリック音などの劣化を防いでいる。

前処理フィルタ(2)は、 $1 - F(z)$ がAPFとなるような前処理フィルタ $F(z)$ である。このような $F(z)$ として、1次再帰型フィルタ

$$F(z) = \frac{(1 - a(k)) - (1 - a(k))z^{-1}}{1 + a(k)z^{-1}} \quad (46)$$

を用いた。 $a(k)$ は前処理フィルタ(1)と同様に、(43)式で定義される。

前処理フィルタ(3)は、2タップ時変FIRフィルタを用いた方式[10]に振幅調整のパラメータ s を追加したものである。前処理フィルタは

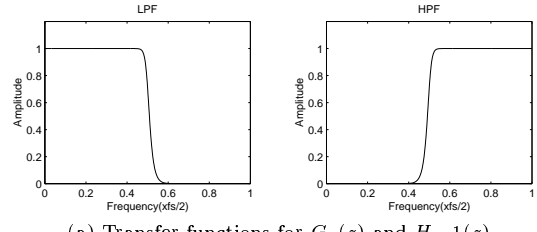
$$F(z) = c(k) + s\{1 - c(k)\}z^{-1} \quad (47)$$

を用いる。[10]で用いられている方式は(47)において $s = 1$ としたものである。1サンプルの遅延を定期的に挿入する方式を基に、切り替え時のクリック音を避けるための周期係数 $c(k)$ を導入している。

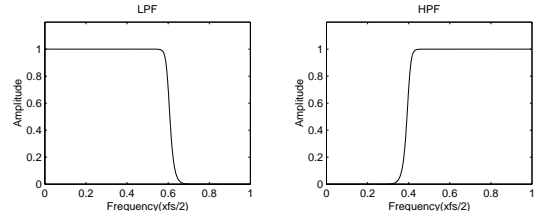
5.2 シミュレーション条件

両チャンネルが対称であり、かつ、独立に動作することから、第1チャンネルのエコー除去のみを確認した。入力信号としては定常な白色雑音を用いた。最も相互相関が強くなるように、両チャンネルの入力信号として同一のものを用いた。適応フィルタとしては64タップのFIR適応フィルタを、学習アルゴリズムとしては学習同定法を用いた。2節では(19)のようにLMSアルゴリズムによるフィルタ係数の更新を示したが、定常な入力信号に対しては学習同定法とLMSアルゴリズムは同一のフィルタ係数期待値を与えることが知られており、部屋Aの伝達関数や前処理フィルタの利得が収束特性に与える影響を排除できる。ステップサイズは $\mu = 0.5$ とした。周期関数 $c(k)$ のパラメータは、 $L = 60$, $Q = 6$ とした。

送信側の部屋Aの伝達特性 $G_i(z)$ および部屋Bのエコーパス $H_{i,j}(z)$ としては、20次のバターワースフィ



(a) Transfer functions for $G_1(z)$ and $H_{1,1}(z)$.



(b) Transfer functions for $G_2(z)$ and $H_{2,1}(z)$.

図3 各部屋の伝達関数

Fig. 3 Room transfer functions.

ルタを用いた。部屋Aおよび部屋Bの伝達関数は、両方が低域通過フィルタ(LPF)である場合と、両方が高域通過フィルタ(HPF)である場合の両方を調べた。 $G_i(z)$ がLPFである場合のカットオフ周波数は $0.3f_s$ 、HPFである場合は $0.2f_s$ とした。 $H_{i,j}(z)$ がLPFである場合のカットオフ周波数は $0.35f_s$ 、HPFである場合は $0.15f_s$ とした。 f_s はサンプリング周波数である。図3(a)に $|G_i(z)|$ を、図3(b)に $|H_{i,j}(z)|$ を示す。

評価基準としては、平均二乗誤差(MSE)および正規化係数誤差(NCEV)を用いた。MSEおよびNCEVは

$$\text{MSE}(n) = \frac{1}{64} \sum_{k=0}^{63} e_i^2(n-k) \quad (48)$$

$$\text{NCEV}(n) = \frac{\sum_{j=1}^2 \|h_{j,1}(n) - w_{j,1}(n)\|^2}{\sum_{j=1}^2 \|h_{j,1}\|^2} \quad (49)$$

で定義される。

5.3 線形結合型の収束特性

比較のために、前処理フィルタを用いない線形結合型ステレオエコーフィルタ[1]の収束特性も確認した。図4(a)にMSEを、同図(b)にNCEVを示す。前処理を用いない方式では、フィルタ係数が最適値であるエコーパスには収束しないことがわかる。

5.4 群遅延特性の影響

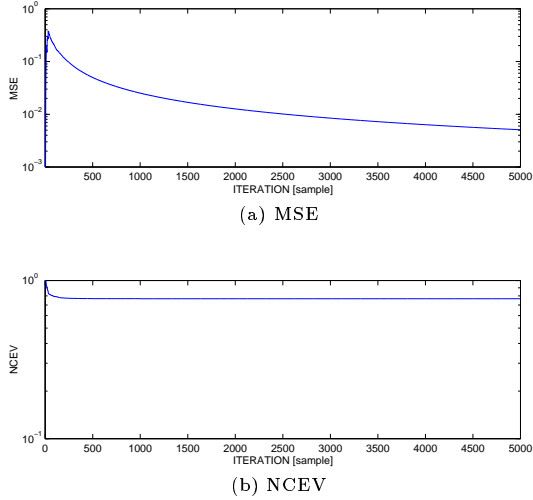


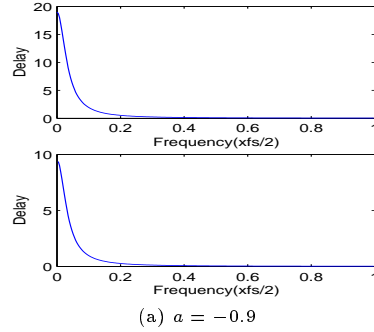
図4 線形結合型の収束特性

Fig. 4 Convergence of stereophonic echo canceller based on linear combination.

前処理フィルタ(1)および(2)のパラメータを変化させて、前処理フィルタの群遅延特性と収束特性の関係を調べた。図5に、 $c(k)$ の代わりに定数1.0を用いた場合における前処理フィルタの群遅延特性を示す。パラメータ a としては-0.9, 0.1, 0.9を用いた。パラメータ a が負である場合には低域で群遅延が大きい。 $a = 0.0$ 付近ではほぼ一様の群遅延となり、 a が大きくなると高域で群遅延が大きくなる。解析結果によると、部屋の伝達関数の通過域において群遅延の変化が大きい場合に収束が速くなることが示されている。これより、 $a = -0.9$ である場合には部屋の伝達関数がLPFである場合の方が収束が速く、 $a = +0.9$ である場合にはHPFである場合の方が収束が速いことが予想される。また、 $a = 0.0$ 付近では、部屋の伝達関数による差が小さいことが予想される。

前処理フィルタ(1)および(2)を用いたエコーキャンセラの収束特性を図6および図7に示す。部屋の伝達関数の通過域において群遅延の変化が大きい場合に収束が速くなっている、これは解析結果と一致する。

(41)より $1 - F(z)$ と $G_i(z)$ の関係も収束速度に影響すると考えられる。この関係が支配的ならば、 $1 - F(z)$ をAPFとした前処理(2)の収束特性は $G_i(z)$ に依存しないことが予想される。シミュレーション結果では $G_i(z)$ によって特性が変化しているので、群遅延特性的方が支配的であることがわかる。

図5 前処理フィルタ(1)および(2)の群遅延特性
上段は前処理(1)、下段は前処理(2)の特性を示す。Fig. 5 Group delay of pre-processor (1) and (2).
Upper and lower graphs show group-delay for pre-processor (1) and (2), respectively.

5.5 $1 - F(z)$ の振幅特性の影響

前処理フィルタ(3)は、1サンプル遅延の挿入、取り外しを繰り返していると考えることができる。この場合には、前処理フィルタは直線位相になるので、群遅延特性から収束特性を調べることができない。一方、(41)式により、 $|F(z) - 1|$ と $|G_1(z)|$ の関係が収束特性に大きな影響があることが示されている。これより、前処理フィルタが直線位相である場合には、 $|F(z) - 1|$

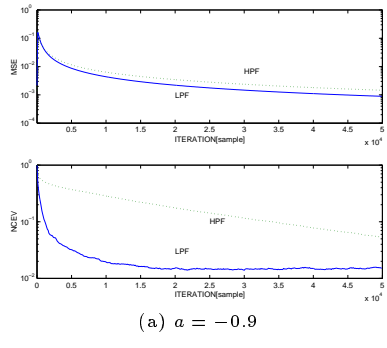
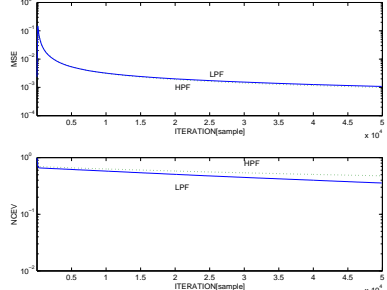
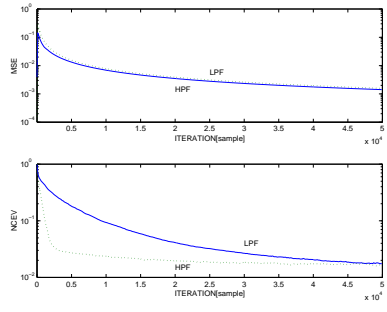
(a) $\alpha = -0.9$ (b) $\alpha = 0.1$ (c) $\alpha = 0.9$

図6 前処理フィルタ(1)を用いたエコーキャンセラの収束特性
上段はMSE、下段はNCEVを示す。
LPFは部屋の伝達関数がLPFである場合を、
HPFは部屋の伝達関数がHPFである場合を示す。

Fig. 6 Convergence of echo canceller
with pre-processor (1).
Upper and lower graphs show convergence of
MSE and NCEV, respectively.

と $|G_1(z)|$ の通過域が一致する場合に収束特性が良くなることが予想される。

$s = +1.0$ および -1.0 に対して計算機シミュレーションを行った。図8に $|F(z) - 1|$ を、図9に収束特性を示す。シミュレーション結果は解析結果と一致する。

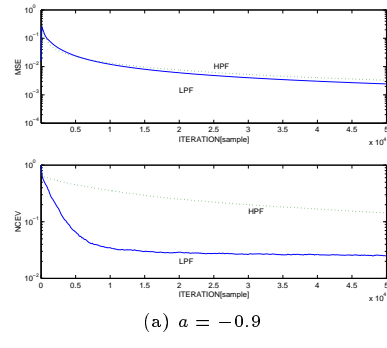
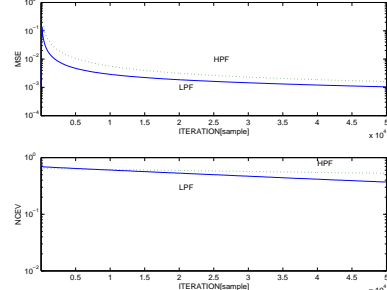
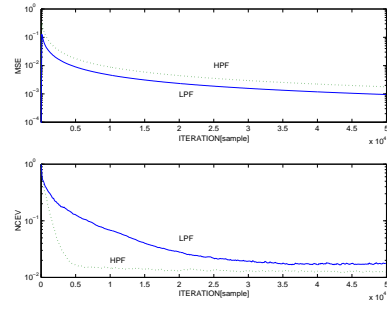
(a) $\alpha = -0.9$ (b) $\alpha = 0.1$ (c) $\alpha = 0.9$

図7 前処理フィルタ(2)を用いたエコーキャンセラの収束特性
上段はMSE、下段はNCEVを示す。
LPFは部屋の伝達関数がLPFである場合を、
HPFは部屋の伝達関数がHPFである場合を示す。

Fig. 7 Convergence of echo canceller
with pre-processor (2).
Upper and lower graphs show convergence of
MSE and NCEV, respectively.

6. 2次APFによる前処理フィルタ

前処理フィルタ $F(z)$ を片チャンネルに挿入、取り外しを繰り返す場合を考える。部屋の伝達関数を測定した結果[16]によると音響特性が低域通過型であることから、前処理フィルタとしてはLPFに対して収束が

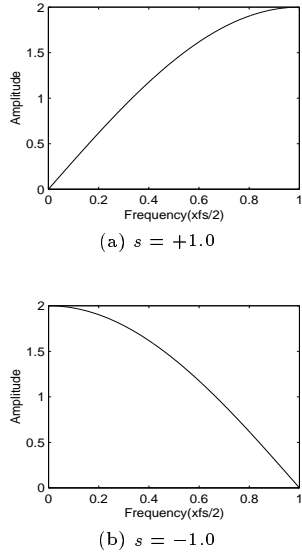


図8 前処理フィルタ(3)の $|F(z) - 1|$
Fig.8 $|F(z) - 1|$ of pre-processor (3)

速いことが望ましい。解析結果より、前処理フィルタとしては、 $|F(z) - 1|$ がLPFである場合に収束速度が速くなることがわかる。また、 $F(z)$ の群遅延が低域で大きいことが望ましい。一方、音声品質の観点からは、 $F(z)$ はAPFであり、音声のパワーが集中する低域では群遅延が極端には大きくならないことが望ましい。以上の条件から、収束速度と音声品質とのトレードオフが生ずることがわかる。

これら全ての条件を1次のAPFで満足させることは困難であるので、2次のAPF

$$F(z) = \frac{b_2 - b_1 z^{-1} + z^{-2}}{1 - b_1 z^{-1} + b_2 z^{-2}} \quad (50)$$

を用いた前処理フィルタを設計する。 $F(z)$ の群遅延と $|F(z) - 1|$ が低域で大きくなる範囲で b_1 と b_2 を変化させて収束速度と音質を評価した結果、 $b_1 = 0.8$, $b_2 = 0.3$ である場合に良好な結果を得た。図10に $|F(z) - 1|$ および群遅延特性を、図11に収束特性を示す。部屋の伝達関数がLPFである場合に良好な収束特性を示している。従来法の中で音質でも収束特性でも良好な特性を示していた前処理(3)において $s = +1.0$ とした場合、すなわち、図9(a)との比較によても、部屋がLPFである場合の収束特性が優れていることがわかる。また、複数人による主観評価の結果、音質が同等であることも確認している。収束速度の点で優

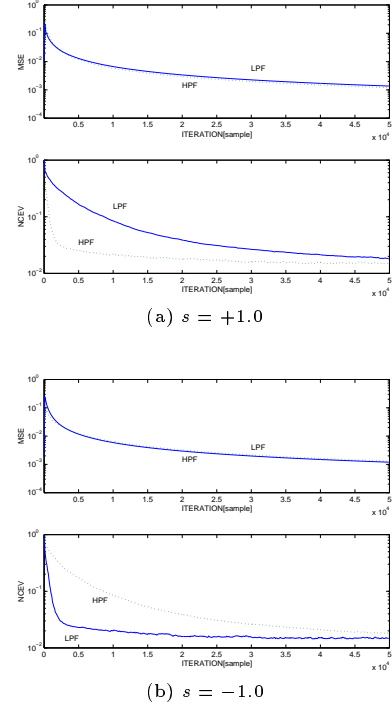


図9 前処理フィルタ(3)を用いたエコーキャンセラの収束特性
上段はMSE、下段はNCEVを示す。
LPFは部屋の伝達関数がLPFである場合を、
HPFは部屋の伝達関数がHPFである場合を示す。
Fig.9 Convergence of echo canceller
with pre-processor (3).
Upper and lower graphs show convergence of
MSE and NCEV, respectively.

れていた前処理(1)と(2)で $a < 0$ とした場合や前処理(3)で $s < 0$ とした場合には、音質の劣化が激しかった。複数の a や s に対してシミュレーションと主観評価を行ったが、収束速度と音声品質の両方が2次APFと同等以上になる値は得られなかつた。

7. む す び

前処理を用いたステレオエコーキャンセラの収束特性を解析した。フィルタ係数誤差期待値の収束特性と周波数領域における解の一意性を解析し、フィルタ係数が最適値に収束するための必要条件を導出した。前処理フィルタの特性や前処理フィルタの特性変化と部屋の伝達関数との関係が収束特性に大きな影響を持つ。これらの解析により、前処理フィルタが備えるべき特性を示し、前処理として2次オールパスフィルタを用いることにより音質を保ったまま収束特性を改善で

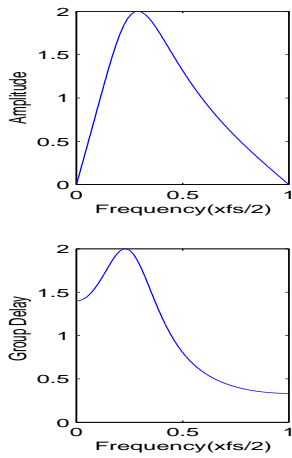


図10 2次APFによる前処理フィルタの特性
上段は $|F(z) - 1|$ 、下段は群遅延を示す。
Fig. 10 Pre-processor by 2nd-order APF.
Upper and lower graphs show $|F(z) - 1|$
and group delay, respectively.

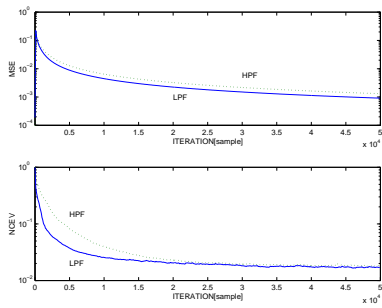


図11 2次前処理フィルタを用いたエコーキャンセラの収束特性
上段はMSE、下段はNCEVを示す。
LPFは部屋の伝達関数がLPFである場合を、
HPFは部屋の伝達関数がHPFである場合を示す。
Fig. 11 Convergence of echo canceller
with 2nd-order pre-processor.
Upper and lower graphs show convergence of
MSE and NCEV, respectively.

きることを示した。十分条件や最適な前処理方式の導出が今後の課題である。

文 献

- [1] 藤井哲郎、島田正治、"多チャンネルエコーキャンセラの一構成法," 信学技報, CS-84-178, pp. 7-14, 1984.
- [2] M. M. Sondhi and D. R. Morgan, "Acoustic echo cancellation for stereophonic teleconferencing," Proc. of IEEE ASSP Workshop Applied Signal Processing Audio Acoustics, New Paltz, USA, May 1991.
- [3] A. Hirano and A. Sugiyama, "Convergence character-
istics of a multi-channel echo canceller with strongly cross-correlated input signals — Analytical Results —," Proc. of 6th DSP Symposium, pp. 144-149, Fujiyoshida, Japan, November 1991.
- [4] M. M. Sondhi and D. R. Morgan, "Acoustic echo cancellation for stereophonic teleconferencing," presented at the 1991 IEEE ASSP Workshop Appl. Singal Processing Audio Acoustics, News Paltz, NY, Oct. 4-8, 1991.
- [5] A. Hirano and A. Sugiyama, "A compact multi-channel echo canceller with a single adaptive filter per channel," Proc. of ISCAS '92, pp. 1922-1925, San Diego, USA, May 1992.
- [6] Y. Mahieux, A. Gilloire and F. Khalil, "Annulation d'écho en téléconférence stéréophonique," Proc. Quatorzième Colloque GRETI, pp. 515-518, Juan-les-Pins, Prance, Sep. 1993.
- [7] M. M. Sondhi and D. R. Morgan, "Stereophonic acoustic echo cancellation — an overview of the fundamental problem," IEEE SP Letters, vol. 2, no. 8, pp. 148-151, Aug. 1995.
- [8] 杉山昭彦, "マルチチャネルエコーキャンセラ-技術的課題と解決への挑戦-," 信学誌, Vol. 81, No. 3, pp. 266-274, 1998.
- [9] A. Hirano, "Convergence analysis of a multi-channel acoustic echo canceller," Proceedings of 12th DSP Symposium, pp. 521-526, Hiroshima, Japan, Nov. 1997.
- [10] Y. Joncour and A. Sugiyama, "A stereo echo canceler with pre-processing for correct echo path identification," Proc. of ICASSP '98, pp. 3677-3680, Seattle, USA, May 1998.
- [11] M. Ali, "Stereophonic acoustic echo cancellation system using time-varying all-pass filtering for signal decorrelation," Proc. of ICASSP '98, pp. 3689-3692, Seattle, USA, May 1998.
- [12] J. Benesty and D. R. Morgan, J. L. Hall and M. M. Sondhi, "Stereophonic acoustic echo cancellation using nonlinear transformations and comb filtering," Proc. of ICASSP '98, pp. 3673-3676, Seattle, USA, May 1998.
- [13] A. Gilloire and V. Turbin, "Using auditory properties to improve the behaviour of stereophonic acoustic echo cancellers," Proc. of ICASSP '98, pp. 3681-3684, Seattle, USA, May 1998.
- [14] S. Shimauchi, Y. Haneda, S. Makino and Y. Kaneda, "New configuration for a stereo echo canceller with nonlinear pre-processing," Proc. of ICASSP '98, pp. 3685-3688, Seattle, USA, May 1998.
- [15] S. Shimauchi, S. Makino, Y. Haneda, A. Nakagawa and S. Sakauchi, "A stereo echo canceller implemented using a stereo shaker and a duo-filter control system," Proc. of ICASSP '99, pp. 857-860, Phoenix, USA, Mar. 1999.
- [16] A. Sugiyama and A. Hirano, "A subband adaptive fil-

tering algorithm with adaptive intersubband tap assignment," IEICE Trans. Fundamentals, Vol. E77-A, No. 9, pp. 1432-1438, Sep. 1994.

付 錄

1. 解が一意に定まる必要十分条件の証明

連立方程式(35) ($k = 1, 2, \dots$) が全て線形従属である場合には自明ではない解を持つことから、必要性は明らかである。(35) のうち $k = k_1, k_2$ に対する方程式が線形独立であるとすると、これらを解くことにより、

$$C(z)\{H_{j,i}(z) - W_{j,i}(z)\} = 0 \quad (\text{A}\cdot1)$$

$$\begin{aligned} C(z) &= \{F_{1,k_1}(z)F_{2,k_2}(z) - F_{1,k_2}(z)F_{2,k_1}(z)\} \\ G_j(z)X(z) &\quad (\text{A}\cdot2) \end{aligned}$$

を得る。線形独立性より $C(z)$ は恒等的には 0 ではないので、一般性を失うことなく $C(z)$ を

$$C(z) = z^{-N_1} \sum_{i=0}^{N_2-1} c_i z^{-i} \quad (\text{A}\cdot3)$$

$$c_0 \neq 0 \quad (\text{A}\cdot4)$$

とおくことができる。これより、(A·1) 式は、

$$\begin{aligned} &c_0(h_{i,j,0} - w_{i,j,0}(n)) \\ &+ \{c_0(h_{i,j,1} - w_{i,j,1}(n)) \\ &+ c_1(h_{i,j,0} - w_{i,j,0}(n))\} z^{-1} \\ &+ \dots \\ &+ \{c_0(h_{i,j,k} - w_{i,j,k}(n)) \\ &+ c_1(h_{i,j,k-1} - w_{i,j,k-1}(n)) \\ &+ \dots \\ &+ c_k(h_{i,j,0} - w_{i,j,0}(n))\} z^{-k} \\ &+ \dots = 0 \quad (\text{A}\cdot5) \end{aligned}$$

となる。(A·5) 式が任意の z について成立するためには z^{-k} ($k = 0, 1, \dots$) の係数が全て 0 でなければならぬので、 $w_{i,j,k}(n)$ を $k = 0$ から順に求めることにより、最適解

$$w_{i,j,k}(n) = h_{i,j,k} \quad (\text{A}\cdot6)$$

を得る。故に、任意の z に対して (35) 式が成り立つような有限次数の $W_{j,i}(z)$ は最適解 $H_{j,i}(z)$ しか存在しない。これにより十分性が証明される。

(平成年月日受付、月日再受付)

平野 晃宏 (正員)

昭62金沢大・工・電子卒、平1同大大学院修士課程了、平12工博(金沢大)。平1 NEC入社、研究開発グループにてエコーキャンセラの研究開発に従事、平10金沢大・工・電気・情報工学科助手となり現在に至る。最近の研究テーマは主として適応信号処理およびニューラルネットワーク。平7信学会学術奨励賞受賞、IEEE会員。

中山 謙二 (正員)

昭46東工大・工・電子卒、昭46~47同大学研究生、昭58工博(東工大)。昭47NEC入社、伝送通信事業部およびC&Cシステム研究所にて、通信用各種フィルタおよびディジタル信号処理の研究開発に従事。昭63金沢大・工・電気・情報工学科助教授、平2同教授となり現在に至る。最近の研究テーマは主として適応信号処理およびニューラルネットワーク。昭62.9 IEEE Circuits & Devices Mag. 論文賞受賞、著書「SC回路網の設計と応用」(東海大学出版会)他。IEEE シニア会員、INNS会員。

渡辺 和伸

平9金沢大・工・電気情報卒、平11同大学院博士前期課程修了、平11松下通信工業入社、パーソナルコミュニケーション事業部にて、GSM方式携帯電話用ベースバンドLSIの開発に従事。